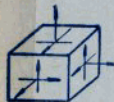


弹性力学基础

下册

重庆大学 合编
南京航空学院



重庆大学承印

一九八〇年三月

下 册 目 录

第九章 柱体的扭转

- § 9—1 任意等截面柱体的扭转 扭转函数····· (1)
- § 9—2 椭圆截面柱体和等边三角形截面柱体的扭转····· (6)
- § 9—3 矩形截面柱体的扭转····· (13)
- § 9—4 柱体扭转问题的应力函数····· (19)
- § 9—5 多连截面柱体的扭转····· (26)
- § 9—6 薄膜比拟····· (32)
- § 9—7 狭矩形截面杆的扭转····· (36)
- § 9—8 空心薄壁截面杆的扭转····· (39)

第十章 柱体的弯曲

- § 10—1 等截面悬梁弯曲时的应力····· (44)
- § 10—2 圆截面悬梁弯曲时的应力····· (50)
- § 10—3 椭圆截面悬梁弯曲时的应力····· (54)
- § 10—4 矩形截面悬梁弯曲时的应力····· (57)
- § 10—5 圆环形截面悬梁弯曲时的应力····· (62)
- § 10—6 等截面悬梁弯曲时的位移····· (64)
- § 10—7 圆截面悬梁弯曲时的位移····· (69)

第十一章 空间轴对称问题

- § 11—1 轴对称问题中的基本方程····· (73)
- § 11—2 按应力法求解轴对称问题····· (82)
- § 11—3 半空间体在边界平面上受集中力 P 作用····· (92)
- § 11—4 半空间体在边界平面上承受分布压力的问题····· (95)
- § 11—5 两接触弹性体间的压力分布····· (108)
- § 11—6 接触而为圆形时接触弹性体中的应力····· (120)

第十二章 热应力

- § 12—1 简单的热应力问题····· (124)
- § 12—2 温度场和热传导的一些基本概念····· (127)
- § 12—3 平面定常热应力问题····· (129)
- § 12—4 用极坐标求解平面定常热应力问题····· (138)
- § 12—5 不产生热应力的平面定常温度场····· (145)

§ 12—6	表面有热散逸的平板中的定常热应力·····	(146)
§ 12—7	一般方程·····	(149)

第十三章 弹性力学问题的变分原理及其解法

§ 13—1	变分概念·····	(153)
§ 13—2	虚位移原理·····	(154)
§ 13—3	最小势能原理·····	(156)
§ 13—4	弹性平衡时的拉格朗日变分方程·····	(158)
§ 13—5	拉格朗日变分方程的应用·····	(160)
§ 13—6	用拉格朗日变分方程解等截面柱体的扭转问题·····	(167)
§ 13—7	最小余能原理·····	(172)
§ 13—8	卡斯提也努定理·····	(175)
§ 13—9	卡斯提也努变分方程的应用·····	(178)
§ 13—10	用卡斯提也努变分方程解等截面柱体的扭转问题·····	(178)

第十四章 弹性力学问题的有限单元法

§ 14—1	弹性体的单元剖分·····	(185)
§ 14—2	单元的位移插值函数·····	(186)
§ 14—3	单元的应变矩阵和应力矩阵·····	(190)
§ 14—4	单元应变能和单元刚度矩阵·····	(193)
§ 14—5	弹性体的总应变能和总刚度矩阵·····	(197)
§ 14—6	载荷向节点移置, 载荷列阵·····	(204)
§ 14—7	有限单元法基本方程·····	(207)
§ 14—8	有限单元法解题步骤小结·····	(210)

第九章 柱体的扭转

第五章中讨论园截面杆扭转问题所得的结论是：

- (1) 扭转变形后，截面仍保持为平面；
- (2) 截面上任意点处的剪应力与该点至圆心的距离成正比，其作用方向与径线垂直。

以上结论对非园等截面柱体的扭转问题并不正确。例如对图 9—1 所示矩形截面柱体来说，设其边界上 A 点处的剪应力 τ 仍与径线 OA 垂直，则可将它分解成两个分量 τ_{yx} 及 τ_{xy} ，由于柱体侧面上无外力作用，故必 $\tau_{yx} = \tau_{xy} = 0$ ，因此，边界上任意点处剪应力的方向必与边界相切。同时，实验表明，非园等截面柱体扭转后，截面将发生翘曲，不再保持为平面。因此，对非园等截面柱体的扭转问题，须另寻求解。本章分别用位移法和应力法求解等截面柱体扭转时的变形和应力，并对薄膜比拟法和开口、闭口薄壁杆的扭转问题进行了讨论。

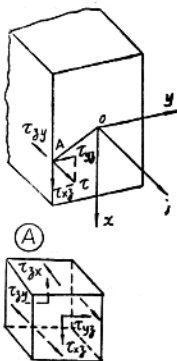


图 9—1

§9—1 任意等截面柱体的 扭转 扭转函数

图 9—2 示一长为 l 的等截面柱体，左端固定，右端面上作用有扭矩 M_x 。这里，我们先用位移法求解，并采用圣维南所提出的半逆解法。

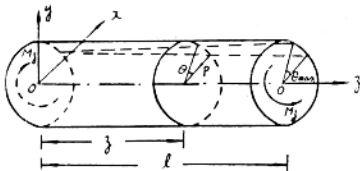


图 9—2

在扭矩 M_x 的作用下，柱体表面上的母线将被扭成螺旋线。今考察距固定端为 x 的任意截面。在小变形假设下，该截面的扭转角 θ 可认为与距离成正比，即

$$\theta = \alpha x$$

(a)

式中 α 为单位长度扭转角 (或称单位扭角)。

设任意截面上 (图9-3) 的任意点 $p(x, y, z)$, 变形后移到点 $p'(x+u, y+v, z+w)$ 。由于变形, 截面发生翘曲, 点 p' 在 xoy 平面上的投影以 p' 表示, 点 p 到 p' 所转动的角度即为 θ , 因 θ 很小, 故可近似取为

$$op = op' = r, \quad \sin\theta = \theta, \quad \cos\theta = 1$$

因为

$$u = r\cos(\beta + \theta) - r\cos\beta = r\cos\beta\cos\theta - r\sin\beta\sin\theta - r\cos\beta$$

$$v = r\sin(\beta + \theta) - r\sin\beta = r\sin\beta\cos\theta - r\cos\beta\sin\theta - r\sin\beta$$

故得

$$\left. \begin{aligned} u &= -y\theta \\ v &= x\theta \end{aligned} \right\} \quad (b)$$

将 (a) 代入 (b) 得

$$\left. \begin{aligned} u &= -\alpha yz, \\ v &= \alpha xz. \end{aligned} \right\} \quad (9-1)$$

由此可见, 位移 u, v 的表达式与圆截面杆受扭时相同, 不同的是位移 w 。

非圆截面柱体受扭后截面将发生翘曲, 沿 z 轴向要发生位移。如各截面沿 z 轴向能自由伸缩, 则可认为各截面翘曲情况相同, 亦即位移 w 与 z 无关只是 x, y 的函数, 由此可设

$$w = \alpha\varphi(x, y). \quad (9-2)$$

式中, $\varphi(x, y)$ 为一待定函数, 称为扭转函数。因为 w 反映了截面的翘曲, 所以也称 $\varphi(x, y)$ 为翘曲函数。

由几何方程 (5-2) 可得与 (9-1)、(9-2) 相应的应变分量为

$$\left. \begin{aligned} \epsilon_x = \epsilon_y = \epsilon_z = \gamma_{xy} &= 0, \\ \gamma_{xz} &= \frac{\partial w}{\partial x} + \frac{\partial u}{\partial z} = \alpha \left(\frac{\partial \varphi}{\partial x} - y \right), \\ \gamma_{yz} &= \frac{\partial w}{\partial z} + \frac{\partial v}{\partial y} = \alpha \left(\frac{\partial \varphi}{\partial y} + x \right). \end{aligned} \right\} \quad (9-3)$$

再由物理方程 (5-4, b) 可得与 (9-3) 相应的应力分量为

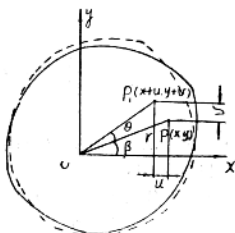


图 9-3

$$\left. \begin{aligned} \sigma_x = \sigma_y = \sigma_z = \tau_{xy} = 0, \\ \tau_{xz} = G\gamma_{xz} = G\alpha \left(\frac{\partial \varphi}{\partial x} - y \right), \\ \tau_{yz} = G\gamma_{yz} = G\alpha \left(\frac{\partial \varphi}{\partial y} + x \right). \end{aligned} \right\} \quad (9-4)$$

由此可知, 如确定了扭转函数 $\varphi(x, y)$, 则由 (9-4) 可求截面上的两个未知应力分量 τ_{xz} 和 τ_{yz} 。

下面讨论如何确定扭转函数 $\varphi(x, y)$ 。因用位移法求解, 故位移分量应满足用位移分量表示的平衡微分方程 (5-10)。因不计体力, 即

$$f_x = f_y = f_z = 0$$

又由 (9-3) 知

$$\theta = \varepsilon_x = \varepsilon_y = \varepsilon_z = 0. \quad (9-5, a)$$

再由 (9-1) 和 (9-2) 可得

$$\nabla^2 u = 0, \quad \nabla^2 v = 0, \quad \nabla^2 w = \alpha \left(\frac{\partial^2 \varphi}{\partial x^2} + \frac{\partial^2 \varphi}{\partial y^2} \right). \quad (9-5, b)$$

故 (5-10) 中的前两式恒能满足, 而其第三式成为

$$\nabla^2 w = 0.$$

因而, 由 (9-5, b) 可得

$$\nabla^2 \varphi = \frac{\partial^2 \varphi}{\partial x^2} + \frac{\partial^2 \varphi}{\partial y^2} = 0. \quad (9-6)$$

由上式得知, 扭转函数 $\varphi(x, y)$ 应是一调和函数。

因在柱体的侧面上无外力作用, $X_N = Y_N = Z_N = 0$, 且 $l \neq 0$, $m \neq 0$, $n = 0$ 。故边界条件 (5-5) 的前两式恒能满足, 而其第三式成为

$$\tau_{xz}l + \tau_{yz}m = 0. \quad (c)$$

上式表示, 在柱体的侧面边界上, 剪应力分量 τ_{xz} 和 τ_{yz} 在法线 N 上的投影之和应等于零。因此, 剪应力分量的合成剪应力 (或称总剪应力) 在边界上应与边界相切。

将 (9-4) 代入 (c) 得

$$\left(\frac{\partial \varphi}{\partial x} - y \right) l + \left(\frac{\partial \varphi}{\partial y} + x \right) m = 0, \quad (9-7, a)$$

或

$$\left(\frac{\partial \varphi}{\partial x} - y \right) \frac{dy}{ds} - \left(\frac{\partial \varphi}{\partial y} + x \right) \frac{dx}{ds} = 0. \quad (9-7, b)$$

这样, 用位移法求解柱体的扭转问题就归结为寻求扭转函数 $\varphi(x, y)$, 它应满足调和方程(9-6)和边界条件(9-7, a)或(9-7, b)。

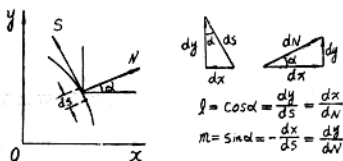


图 9-4

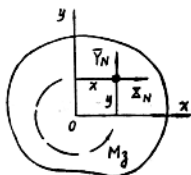


图 9-5

在柱体的两端面上($z=0$, $z=l$), 要求沿 x 轴向和 y 轴向面力的合力应等于零, 且其合力矩应等于已知扭矩 M_z 。例如对 $z=l$ 的端面(图9-5)的方向余弦为

$$l = m = 0, \quad n = 1。$$

由边界条件(5-5)可知, $X_N = \tau_{xz}$, $Y_N = \tau_{yz}$ 。因此, 在 $z=l$ 的端面上要求满足下列三式

$$\iint X_N dx dy = \iint \tau_{xz} dx dy = 0, \quad (9-8, a)$$

$$\iint Y_N dx dy = \iint \tau_{yz} dx dy = 0, \quad (9-8, b)$$

$$\iint (xY_N - yX_N) dx dy = \iint (x\tau_{yz} - y\tau_{xz}) dx dy = M_z。 \quad (9-8, c)$$

以(9-4)代入(9-8, a)的左端可得

$$\iint \tau_{xz} dx dy = G\alpha \iint \left(\frac{\partial \varphi}{\partial x} - y \right) dx dy。 \quad (d)$$

为了将(d)右端转换成线积分, 可把它改写成下式

$$G\alpha \left(\frac{\partial \varphi}{\partial x} + y \right) dx dy = G\alpha \iint \left\{ \frac{\partial}{\partial x} \left[x \left(\frac{\partial \varphi}{\partial x} - y \right) \right] + \frac{\partial}{\partial y} \left[x \left(\frac{\partial \varphi}{\partial y} + x \right) \right] \right\} dx dy, \quad (e)$$

应用格林公式

$$\iint \left(\frac{\partial Q}{\partial x} - \frac{\partial P}{\partial y} \right) dx dy = \oint (P dx + Q dy), \quad (9-9)$$

故(e)成为

$$G\alpha \int \left[\left(\frac{\partial \varphi}{\partial x} - y \right) dx dy = G\alpha \oint \left\{ \left[-x \left(\frac{\partial \varphi}{\partial y} + x \right) \right] dx + \left[x \frac{\partial \varphi}{\partial x} - y \right] dy \right\}, \quad (f)$$

又因在边界上有 $l = \frac{dy}{ds}$, $m = -\frac{dx}{ds}$, 并因满足边界条件 (9-7, a), 故由 (f) 可得

$$G\alpha \int \left[\left(\frac{\partial \varphi}{\partial x} - y \right) dx dy = G\alpha \oint \left[x \left(\frac{\partial \varphi}{\partial x} - y \right) l + \left(x \frac{\partial \varphi}{\partial x} + y \right) m \right] ds = 0,$$

从而证明了 (9-8, a) 成立。同理可证明 (9-8, b) 也成立。

再以 (9-4) 代入 (9-8, c) 可得

$$M_z = \iint \left(x r_{yz} - y r_{xz} \right) dx dy = G\alpha \int \left(x^2 + y^2 + x \frac{\partial \varphi}{\partial y} - y \frac{\partial \varphi}{\partial x} \right) dx dy, \quad (9-10)$$

令

$$D = \iint \left(x^2 + y^2 + x \frac{\partial \varphi}{\partial y} - y \frac{\partial \varphi}{\partial x} \right) dx dy, \quad (9-11)$$

$$\left. \begin{aligned} M_z &= G\alpha D \\ \alpha &= \frac{M_z}{GD} \end{aligned} \right\} \quad (9-12)$$

式中 D 称为抗扭刚度或抗扭常数。

对 $z = 0$ 的端面, 同样可得上述结论。

此外, 还可用扭转函数 $\varphi(x, y)$ 的共轭函数 $\psi(x, y)$ 来求解柱体的扭转问题。因为 $\varphi(x, y)$ 满足调和方程 (9-6), 所以 $\varphi(x, y)$ 是调和函数, 因此可引入它的共轭函数 $\psi(x, y)$ 来组成解析函数

$$f(z) = \varphi(x, y) + i\psi(x, y). \quad (9-13)$$

由于 $f(z)$ 是解析函数, 其实部和虚部应满足柯西——黎曼条件

$$\left. \begin{aligned} \frac{\partial \varphi}{\partial x} &= \frac{\partial \psi}{\partial y}, \\ \frac{\partial \varphi}{\partial y} &= -\frac{\partial \psi}{\partial x}, \end{aligned} \right\} \quad (9-14)$$

所以, 也可用 φ 的共轭函数来求解柱体的扭转问题:

第一 ψ 是调和函数, 它满足调和方程

$$\frac{\partial^2 \psi}{\partial x^2} + \frac{\partial^2 \psi}{\partial y^2} = 0. \quad (9-5)$$

第二 可用 ψ 来表示边界条件。以 (9-14) 代入 (9-7, b) 得

$$\left(\frac{\partial \psi}{\partial y} - y \right) \frac{dy}{ds} + \left(\frac{\partial \psi}{\partial x} - x \right) \frac{dx}{ds} = 0.$$

展开上式得

$$\frac{\partial \psi}{\partial x} \frac{dx}{ds} + \frac{\partial \psi}{\partial y} \frac{dy}{ds} = x \frac{dx}{ds} + y \frac{dy}{ds},$$

或

$$\frac{d\psi}{ds} = \frac{d}{ds} \left(\frac{x^2 + y^2}{2} \right).$$

积分上式得

$$\psi = \frac{1}{2}(x^2 + y^2) + c, \quad (\text{在边界上}) \quad (9-16)$$

式中, c 为任意常数。显然 (9-16) 所表示的就是柱体截面的边界方程。

因此, 求解柱体的扭转问题, 又可归结为在柱体截面域内寻求调和函数 $\psi(x, y)$, 它在边界上应满足边界条件 (9-16)。

以 (9-14) 代入 (9-4) 可得用调和函数 $\psi(x, y)$ 表示的剪应力分量为

$$\left. \begin{aligned} \tau_{xz} &= G\alpha \left(\frac{\partial \psi}{\partial y} - y \right), \\ \tau_{yz} &= G\alpha \left(-\frac{\partial \psi}{\partial x} + x \right). \end{aligned} \right\} \quad (9-17)$$

此时, 单位扭转角 α 仍用 (9-12) 计算, 但用来计算抗扭刚度 D 的 (9-11) 应改为

$$D = \iint \left(x^2 + y^2 - x \frac{\partial \psi}{\partial x} - y \frac{\partial \psi}{\partial y} \right) dx dy. \quad (9-18)$$

§9-2 椭圆截面柱体和等边三角形截面柱体的扭转

因扭转函数 φ 和它的共轭函数 ψ 都是调和函数, 且满足柯西——黎曼条件 (9-14), 圣维南提出了由复变解析函数来寻求调和函数 φ 和 ψ 的简单方法, 从而解决了一系列特殊问题。

取复变数

$$z = x + iy$$

则任一复变函数 $f(z)$ 可写成

$$f(z) = U(x, y) + iV(x, y) \quad (a)$$

如 $f(z)$ 是 D 域内的解析函数, 则它的实部 U 和虚部 V 满足柯西—黎曼条件:

$$\left. \begin{aligned} \frac{\partial U}{\partial x} &= \frac{\partial V}{\partial y}, \\ \frac{\partial U}{\partial y} &= -\frac{\partial V}{\partial x}. \end{aligned} \right\} \quad (b)$$

就是说 V 是 U 的共轭调和函数, 以 (9-14) 与 (b) 比较可知, 在解析函数 (a) 中, 扭转函数 φ 和其共轭函数 ψ 分别与 $f(z)$ 的实部 U 和虚部 V 相对等, 因此, 第一种取法是:

$$\varphi = U, \quad \psi = V, \quad (9-19, a)$$

而边界方程 (9-16) 则成为

$$V(x, y) = \frac{1}{2}(x^2 + y^2) + C. \quad (9-19, b)$$

上式表示 D 域的边界方程, 也就是柱体截面的边界方程。如这个方程表示一条闭合曲线, 那么, 此闭合曲线所表示的截面形状的柱体扭转问题就算解决。

因为, 如 $U + iV$ 是在 D 域内的解析函数, 则 $V - iU$ 也是 D 域内的解析函数, 故第二种取法是

$$\varphi = V, \quad \psi = -U. \quad (9-20, a)$$

此时, 柱体截面边界方程为

$$-U(x, y) = \frac{1}{2}(x^2 + y^2) + C. \quad (9-20, b)$$

由于 $V - iU$ 是在 D 域内的解析函数, 自然 $-V + iU$ 也是 D 域内的解析函数, 故第三种取法可选

$$\varphi = -V, \quad \psi = U, \quad (9-21, a)$$

此时, 柱体截面边界方程成为

$$U(x, y) = \frac{1}{2}(x^2 + y^2) + C. \quad (9-21, b)$$

由以上讨论可见, 选取扭转函数 φ 和其共轭函数 ψ 时, 可从选解析函数 $U + iV$ 出发, 注意它们间的对应关系及符号即可。下面举例说明上述方法的应用。

1. 椭圆截面柱体的扭转

因椭圆为二次曲线, 故可选解析函数为

$$f(z) = mz^2 = m(x + iy)^2 = m(x^2 - y^2) + i2mxy, \quad (c)$$

式中, m 为实常数。

由(9-20, a)可取扭转函数 φ 及其共轭函数 ψ 为

$$\varphi = V = 2mxy, \quad \psi = -U = -m(x^2 - y^2). \quad (d)$$

于是截面的边界方程为

$$-m(x^2 - y^2) = \frac{1}{2}(x^2 + y^2) + C,$$

上式可化为

$$\frac{x^2}{1+2m} + \frac{y^2}{1-2m} = 1. \quad (e)$$

上式中如选取适当的 C 值则可表示一椭圆方程, 所以椭圆截面的柱体的扭转问题可由此得到解决。

如设椭圆截面的长半轴为 a , 短半轴为 b (图 9-6), 其方程为

$$\frac{x^2}{a^2} + \frac{y^2}{b^2} = 1. \quad (9-22)$$

将上式与 (e) 比较可得

$$\left. \begin{aligned} (1+2m)a^2 &= -2C, \\ (1-2m)b^2 &= -2C. \end{aligned} \right\} \quad (f)$$

联解以上两式得

$$\left. \begin{aligned} m &= \frac{b^2 - a^2}{2(a^2 + b^2)}, \\ C &= -\frac{a^2 b^2}{a^2 + b^2}. \end{aligned} \right\} \quad (g)$$

于是由 (d) 可得扭转函数

$$\varphi = 2mxy = -\frac{a^2 - b^2}{a^2 + b^2}xy. \quad (9-23)$$

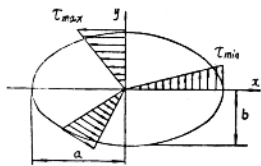


图 9-6

由(9-11)得抗扭刚度

$$D = \iint (x^2 + y^2 + x \frac{\partial \varphi}{\partial y} - y \frac{\partial \varphi}{\partial x}) dx dy$$

$$= \frac{2}{a^2 + b^2} (b^2 x^2 + a^2 y^2) dx dy.$$

因积分

$$\iint x^2 dx dy = I_y = \frac{\pi}{4} a^3 b,$$

$$\iint y^2 dx dy = I_x = \frac{\pi}{4} a b^3.$$

故

$$D = \frac{2}{a^2 + b^2} \left(\frac{\pi a^3 b^3}{4} + \frac{\pi a^3 b^3}{4} \right) = \frac{\pi a^3 b^3}{a^2 + b^2}. \quad (9-24)$$

由(9-12)得单位扭转角

$$\alpha = \frac{M_z}{GD} = \frac{(a^2 + b^2)M_z}{G\pi a^3 b^3}, \quad (9-25)$$

由(9-4)得剪应力分量

$$\left. \begin{aligned} \tau_{xz} &= G\alpha \left(\frac{\partial \varphi}{\partial x} - y \right) = -\frac{2M_z}{\pi a b^3} y, \\ \tau_{yz} &= G\alpha \left(\frac{\partial \varphi}{\partial y} + x \right) = \frac{2M_z}{\pi a^3 b} x. \end{aligned} \right\} \quad (9-26)$$

由(9-2)得沿z轴向的位移

$$w = \alpha \varphi(x, y) = -\frac{(a^2 - b^2)M_z}{G\pi a^3 b^3} xy. \quad (9-27)$$

再由(9-26)可得椭圆截面上任意点处的合成剪应力为

$$\begin{aligned} \tau &= \sqrt{\tau_{xz}^2 + \tau_{yz}^2} = \frac{2M_z}{\pi ab} \sqrt{\frac{x^2}{a^4} + \frac{y^2}{b^4}} \\ &= \frac{2M_z}{\pi a^3 b^3} \sqrt{b^4 x^2 + a^4 y^2}. \end{aligned} \quad (9-28)$$

合成剪应力 τ 的方向则由下式确定

$$\frac{\tau_{yz}}{\tau_{xz}} = -\frac{b^2}{a^2} \frac{x}{y}. \quad (h)$$

因过椭圆截面中心O的径线上各点的x/y值为常数,故由(h)可知,径线上各点的

合成剪应力具有相同的方向(互相平行),如图9-6所示。

由椭圆截面的边界方程(9-22)可得

$$\frac{dy}{dx} = -\frac{b^2}{a^2} \frac{x}{y} \quad (i)$$

比较(h)和(i)两式可知,椭圆截面边界上任意点处的合成剪应力 τ 与椭圆的边界相切。

又由(9-28)可知,椭圆截面中心 $O(x=0, y=0)$ 处的剪应力为零,最大剪应力则应发生在椭圆截面的边界上。因沿椭圆截面的边界有

$$a^2y^2 = a^2b^2 - b^2x^2 \quad (j)$$

以(j)代入(9-28)可得沿椭圆边界各点的合成剪应力表达式为

$$\tau = \frac{2M_z}{\pi a^3 b^2} \sqrt{a^4 - (a^2 - b^2)x^2} \quad (9-29)$$

显然,当 $x=0$ 时,(9-29)取最大值,这说明合成剪应力 τ 的最大值发生在椭圆短半轴两端的边界上,其值为

$$\tau_{max} = \frac{2M_z}{\pi a b^2} \quad (9-30)$$

当 $x=\pm a$ 时,(9-29)取最小值,这说明合成剪应力 τ 的最小值发生在椭圆长半轴两端的边界上,其值为

$$\tau_{min} = \frac{2M_z}{\pi a^3 b} \quad (9-31)$$

又由(9-27)可知,椭圆截面柱体受扭后,截面上各点沿 z 轴向将发生不同的位移,由此可知,截面不再保持为平面而发生翘曲,我们称

$$w = C \quad (\text{常数}) \quad (k)$$

为等高线方程。由(9-27)可知,椭圆截面柱体受扭后的等高线方程为

$$w = -\frac{(a^2 - b^2)M_z}{G\pi a^3 b^2} xy = C \quad (9-32)$$

上式表明,椭圆截面翘曲后的等高线在 xOy 平面上的投影为一双曲线,它以 x 轴和 y 轴为渐近线(图9-7, a),在 $a > b$ 的情况下,图9-7, a中的实线表示突出,虚线表凹入,翘曲后的形状示如图9-7, b。如端面可沿 z 轴向自由伸缩,则各截面的翘曲情况相同,此时,截面上不产生正应力,称为自由扭转。如端面固定不允许截面有翘曲,则截面上将产生正应力,称为约束扭转,此种情况,这里不作讨论。

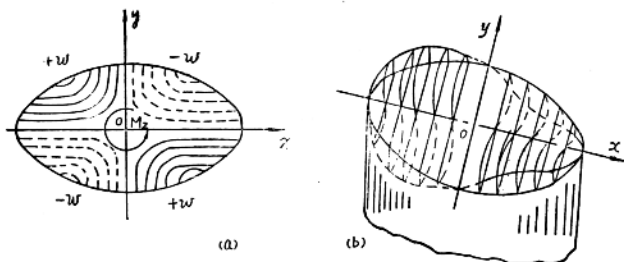


图 9-7

2. 等边三角形截面柱体的扭转

设等边三角形 ABC 的高为 $3a$, 坐标原点取在三角形的形心 O 上 (图 9-8)。

由于等边三角形截面的边界是由三条直线所组成, 而此三条直线方程的乘积应是三次多项式, 因此可选解析函数为

$$f(z) = n(x + iy)^3 = n(x^3 - 3xy^2) + in(3x^2y - y^3), \quad (1)$$

式中, n 为实常数。

由 (9-21, a) 可取扭转函数 φ 及其共轭函数 ψ 为

$$\varphi = -V = -n(3x^2y - y^3),$$

$$\psi = U = n(x^3 - 3xy^2). \quad (m)$$

于是截面的边界方程为

$$n(x^3 - 3xy^2) = \frac{1}{2}(x^2 + y^2) + C. \quad (n)$$

如适当选取常数 n 和 C 的值, 则 (n) 可表示一等边三角形的边界方程。以图 9-8 所示等边三角形为例, 其三条周边方程为

$$AC \text{ 边 } \quad x - a = 0,$$

$$AB \text{ 边 } \quad x - \sqrt{3}y + 2a = 0,$$

$$BC \text{ 边 } \quad x + \sqrt{3}y + 2a = 0.$$

因此, 等边三角形 ABC 的边界方程为

$$(x - a)(x - \sqrt{3}y + 2a)(x + \sqrt{3}y + 2a) = 0,$$

或

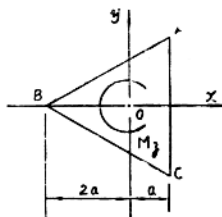


图 9-8

$$\frac{1}{3a}(x^3 - 3xy^2) + (x^2 + y^2) - \frac{4}{3}a^2 = 0. \quad (o)$$

将 (n) 和 (o) 进行比较可得

$$-2n = \frac{1}{3a}, \quad 2c = -\frac{4}{3}a^2.$$

因此, 由 (m) 得扭转函数为

$$\varphi = -n(3x^2y - y^3) = -\frac{1}{6a}(3x^2y - y^3). \quad (9-33)$$

将 (9-33) 代入 (9-11) 得抗扭刚度

$$\begin{aligned} D &= \iint \left(x^2 + y^2 + x \frac{\partial \varphi}{\partial y} - y \frac{\partial \varphi}{\partial x} \right) dx dy = \\ &= \iint \left[x^2 + y^2 + \frac{x}{2a}(x^2 - y^2) - \frac{xy^2}{a} \right] dx dy = \frac{9\sqrt{3}}{5} a^4. \end{aligned} \quad (9-34)$$

由 (9-12) 得单位扭转角

$$\alpha = \frac{M_z}{GD} = \frac{M_z}{\frac{9\sqrt{3}}{5} G a^4} = \frac{5\sqrt{3}}{27} \frac{M_z}{G a^4}. \quad (9-35)$$

由 (9-4) 得剪应力分量

$$\left. \begin{aligned} \tau_{xz} &= G\alpha \left(\frac{\partial \varphi}{\partial x} - y \right) = \frac{5\sqrt{3} M_z}{27 a^5} (x - a)y, \\ \tau_{yz} &= G\alpha \left(\frac{\partial \varphi}{\partial y} + x \right) = \frac{5\sqrt{3} M_z}{54 a^5} (x^2 + 2ax - y^2). \end{aligned} \right\} \quad (9-36)$$

再由 (9-36) 可得沿 x 轴 ($y=0$) 上的剪应力分量为

$$\left. \begin{aligned} \tau_{xz} &= 0, \\ \tau_{yz} &= \frac{5\sqrt{3} M_z}{54 a^5} x(x + 2a). \end{aligned} \right\} \quad (9-37)$$

沿 x 轴上 τ_{yz} 的分布规律如图 8-8 所示。

最大剪应力发生在等边三角形三边上的中点处

$$\tau_{max} = (\tau_{yz})_{x=a} = \frac{5\sqrt{3} M_z}{18 a^5}. \quad (9-38)$$

由 (9-36) 容易看出, 在等边三角形的形心 O ($x=0, y=0$) 处, 剪应力为零, 且在